

## تأثیر نواربندی کشک بر گشتاور سه بعدی مفاصل زانو و ران زنان مبتلا به سندروم درد کشکی-رانی طی مرحله اتکای دویدن

منصور اسلامی<sup>۱</sup>، فاطمه سالاری اسکر<sup>۲</sup>

۱. دانشیار دانشکده تربیت بدنی و علوم ورزشی، دانشگاه مازندران\*

۲. دانشجوی دکتری دانشکده تربیت بدنی و علوم ورزشی، دانشگاه مازندران

تاریخ پذیرش: ۱۳۹۵/۰۲/۱۸

تاریخ دریافت: ۱۳۹۴/۰۳/۲۵

### چکیده

مکانیسم کاهش درد بیماران مبتلا به درد کشکی-رانی طی نواربندی کشک به طور کامل مشخص نیست. هدف پژوهش حاضر بررسی اثر نواربندی کشک بر گشتاور سه بعدی مفاصل ران و زانوی زنان مبتلا به درد کشکی-رانی طی مرحله اتکای دویدن بود. متغیرهای سینماتیکی و سینتیکی ۱۴ زن دارای درد کشکی-رانی توسعه پنج دوربین و یک صفحه نیروسنجه ثبت شد. از معادلات دینامیک معکوس نیوتون-اولر جهت محاسبه گشتاور استفاده شد. آزمون تی زوجی برای مقایسه اوج گشتاور پیش و حین نواربندی کشک استفاده شد. اوج گشتاور دورکننده زانو پس از نواربندی به طور معناداری کاهش یافت (بدون نواربندی: ۴۴/۰؛ نواربندی: ۲۵/۰ نیوتون متر بر کیلوگرم). مقادیر اوج گشتاور مفصل ران بین دو شرایط اختلاف معناداری نشان نداد. کاهش اوج گشتاور دورکننده زانو می‌تواند بیانگر مکانیسم کاهش درد حین نواربندی کشک در افراد دارای درد کشکی-رانی باشد.

**واژگان کلیدی:** درد کشکی-رانی، دویدن، نواربندی، گشتاور

## مقدمه

درد کشککی-رانی از رایج‌ترین علل درد زانو از نظر متخصصین توانبخشی است (۱). این سندروم ۲۵ درصد آسیب‌های زانو و ۵/۴ درصد آسیب‌های کل بدن را در جامعه آمریکایی شامل می‌شود (۲). میزان ابتلای زنان بیشتر از مردان است (۳) و ۷۰ درصد بیماران دارای درد کشککی-رانی در دامنه سنی ۱۶ تا ۲۵ سال قرار دارند (۲). بسیاری از ورزشکاران با شروع فعالیت‌های ورزشی نظیر دویدن به این سندروم دچار می‌شوند. تعدادی از پژوهش‌های پیشین درد کشککی-رانی را رایج‌ترین مشکل دوندگان گزارش کرده‌اند (۴) و نتیجه یکی از این پژوهش‌ها نشان داد که از بین ۱۶۱، دونده ۱۵ نفر به سندروم درد کشککی-رانی مبتلا بودند (۵). نتاجی و همکاران (۲۰۱۱) در بررسی شیوع سندروم درد کشککی-رانی در زنان ورزشکار کشور ایران، شیوع ۲۵ درصدی درد کشککی-رانی را در مقایسه با قاره اروپا، استرالیا و آمریکا گزارش کردند (۶-۸)، این سندروم ۱۶/۷۴ درصد از آسیب‌های زنان ورزشکار ایرانی را شامل می‌شود. از طرف دیگر در پژوهش مذکور شیوع این سندروم در بین دوندگان ورزشکار (۱۶/۶۶ درصد) پس از رشته‌های ورزشی صخره‌نوردی (۲۶/۳۱ درصد) و والیبال (۲۰/۳۸ درصد) بیشترین درصد را داشت (۹). علت اصلی سندروم درد کشککی-رانی بهطور کامل شناخته‌شده نبست، باوجوداین، جابجایی غیرطبیعی کشک به سمت خارج یکی از علل این سندروم معروفی شده است (۱). چندین عامل در جابجایی کشک به سمت خارج نقش دارند که از جمله می‌توان سفتی نوار خاصره‌ای درشت‌نئی، ضعف عضلات چهارسر رانی از جمله پهن داخلی و نقص‌های عصبی را نام برد (۱۰). برخی مطالعات اخیر علت جابجایی کشک به سمت خارج زانو را تغییرات در مفاصل هم‌جاور همچون مفصل ران معرفی نموده‌اند (۱۱،۱۲). این پژوهش‌ها بیان کرده‌اند که میزان نزدیک کردن و چرخش داخلی ران طی مرحله اتکای دویدن در دوندگان دارای درد کشککی-رانی در مقایسه با افراد سالم بیشتر است (۱۱،۱۲). چرخش داخلی و نزدیک کردن بیش از حد ران یکی از علل جابجایی کشک به سمت خارج در این بیماران معرفی شده است (۱۳). عدم درمان درد کشککی-رانی و مواجه‌شدن با نیروهای عکس‌العمل مفصلی بالا موجب و خامت این سندروم می‌شود. بعلاوه وجود این سندروم می‌تواند موجب حدود ۷۴ درصد محدودیت در فعالیت‌های ورزشی افراد مبتلا و یا ترک ورزش شود (۱۴). به همین دلیل، تجویز روش درمانی مناسب برای این افراد ضروری است.

نواربندی کشک به روش مک کانل، بریسینگ زانو و استفاده از برنامه‌های تمرینی از جمله درمان‌های سنتی غیرتهاجمی است که برای بهبود درد کشککی-رانی استفاده می‌شود (۱۵). چندین مطالعه اثر نواربندی کشک به روش مک کانل را در کاهش درد بیماران دارای درد کشککی-رانی گزارش نموده‌اند (۱۶،۱۷). باوجوداین، تاکنون مکانیسم و علل بیومکانیکی کاهش درد مشخص

نیست. به عنوان مثال، برخی پژوهش‌ها علت این کاهش درد را تحریک گیرنده‌های پوستی درنتیجه نواربندی دانسته‌اند (بدون جابجایی کشک ک به حالت اولیه) (۱) که درنهایت از طریق تحریک سیستم عصبی مرکزی به کاهش درد منجر می‌شود (۱۸). برخی پژوهش‌ها کاهش دامنه حرکتی مفصل زانو را طی بالارفتن از پله درنتیجه نواربندی کشک ک در بیماران دارای درد کشک‌کی-رانی گزارش نموده‌اند (۱۹). نایلند و همکاران در سال ۲۰۰۲ به بررسی اثر نواربندی کشک ک بر زمان‌بندی و اوج نیروی کف‌پایی طی حرکت لی آپ بسکتبال<sup>۱</sup> در زنان بسکتبالیست پرداختند، نتایج این پژوهش نشان داد که نواربندی کشک ک متغیرهای پژوهش را دچار تأخیر کرده است (۲۰). مطالعات اثر نواربندی کشک ک بر گشتاور مفصل زانو در صفحه سهمی طی پرش عمودی، بالارفتن جانبی از پله و بالارفتن از پله را مطالعه کردند (۲۱، ۲۲). نتایج این مطالعات نشان داده است که نواربندی کشک ک سبب افزایش گشتاور مفصل زانو در صفحه سهمی می‌شود (۲۱، ۲۲). با توجه به کاهش درد درنتیجه نواربندی کشک ک، فرضیه پژوهش حاضر بر آن است که نواربندی کشک ک می‌تواند بر متغیرهای بیومکانیکی مفاصل مجاور همچون مفصل ران نیز اثرگذار باشد. از آنجایی که مطالعات اخیر ارتباط بین مقادیر گشتاور مفصل ران را با سفتی نوار خاصره‌ای درشت نی و آسیب‌های زانو مرتبط دانسته‌اند (۲۳)، در این پژوهش علاوه بر تغییرات گشتاور زانو، تغییرات گشتاور مفصل ران نیز در سه بعد مورد بررسی قرار گرفت. تاکنون مطالعه‌ای توسط پژوهشگران یافت نشد که این موضوع را در بیماران دارای درد کشک‌کی-رانی طی مرحله اتکای دویden مورد بررسی قرار داده باشد؛ بنابراین، هدف پژوهش حاضر بررسی اثر نواربندی کشک ک بر مقادیر اوج و تغییرات گشتاور مفاصل ران و زانو در سه بعد (سه صفحه حرکتی سهمی، عرضی و افقی) طی مرحله اتکای دویden در زنان مبتلا به سندروم درد کشک‌کی-رانی بود.

## روش پژوهش

نمونه آماری پژوهش حاضر شامل ۱۴ زن دارای درد کشک‌کی-رانی (میانگین سن:  $24/9 \pm 3/9$  سال، قد:  $166/9 \pm 7/3$  سانتی‌متر، جرم:  $59/1 \pm 4/6$  کیلوگرم) بود. آزمودنی‌ها دارای درد پشت کشک در حداقل یکی از دو فعالیت بالا یا پایین رفتن از پله، اسکات، دویden و یا پریدن بودند (۲۴). آزمودنی‌ها حداقل سابقه دو ماه درد داشتند و سطح درد روز آزمون حداقل سه سانتی‌متر در مقیاس ۱۰ سانتی‌متری بینایی درد بود (۲۵). آزمودنی‌ها سابقه جراحی، دیگر آسیب‌های اندام تحتانی و تنن، استفاده از نواربندی، ارتز و یا تمرين را نداشتند. طرح پژوهش حاضر در کمیته اخلاق در

---

1. Basketball lay Up

پژوهش دانشگاه علوم پزشکی بابل تائید شد. رضایت آزمودنی‌ها مبنی بر شرکت در آزمون بهوسیله رضایت‌نامه کتبی پیش از اجرای آزمون گرفته شد.

ابزار گردآوری داده‌ها و شرح اجرای پژوهش بدین صورت بود که پنج دوربین (جی‌وی‌سی-۹-ایکس ۲۰۰ هرتز) در سمت راست دستگاه صفحه نیرو (کیستلر، وینترثور، سوئیس، ۶۰\*۶۰ سانتیمتر، ۱۰۰۰ هرتز<sup>۲</sup>) قرار داده شدند که در بخش میانی یک مسیر ۱۵ متری نصب بود. داده‌های سینماتیکی و سینتیکی توسط نرم‌افزار اس‌آی‌ام‌آی موشن<sup>۳</sup> جمع‌آوری شدند. سرعت دویدن بهوسیله مترونوم کنترل شد و برابر  $0/2 \pm 3$  متر بر ثانیه بود. نواربندی کشک بر طبق پروتکل مک کانل انجام شد (۱). جهت ثبت سینماتیکی، نشانگرهای منعکس‌کننده نور در وضعیت ایستا بر روی لندمارک‌های خار خاصه قدامی فوقانی راست و چپ، تاج خاصه سمت راست، تروکانتر بزرگ ران، کندیل داخلی و خارجی زانو، قوزک داخلی و خارجی، مرکز پاشنه و انتهای دیستان استخوان کف‌پایی دوم و پنجم قرار گرفتند. نشانگرهای رهگیری بر روی مرکز پاشنه، انتهای دیستان استخوان‌های کف‌پایی دوم و پنجم و دو نشانگر خوش‌های بر روی ساق و ران و همچنین خار خاصه قدامی فوقانی راست و چپ و تاج خاصه سمت راست بودند که روی هر یک چهار نشانگر قرار داشت (شکل شماره یک). در ادامه، کوشش ایستا در حالی ثبت شد که فرد برای یک ثانیه در وضعیت آناتومیک قرار داشت. سپس نشانگرهای ایستا برداشته شد و کوشش‌های دویدن با و بدون نواربندی کشک ثبت گردید. در هر شرایط سه کوشش صحیح ثبت شد. دویدن با پای بر亨ه توسط آزمودنی‌ها اجرا شد. بین دو شرایط سه دقیقه استراحت به آزمودنی‌ها داده شد.

ماتریس‌های چرخش مفاصل بر طبق توالی کاردان<sup>۴</sup> محاسبه شد (۲۶). از جدول آنتروپومتریک برای محاسبه مقادیر گشتاور اینرسی (۲۷) و معادلات دینامیک معکوس نیوتون-اولر<sup>۵</sup> جهت محاسبه مقادیر گشتاور عضلانی استفاده شد (معادلات شماره یک و دو) (۲۶). داده‌های سینماتیکی و سینتیکی توسط فیلتر باتوروث سطح چهار و با فرکانس برشی ۱۰ هرتز و ۴۰ هرتز به ترتیب هموار شدند. مقادیر گشتاور بر اساس نسبتی از جرم بدن همسان‌سازی شد. تمام محاسبات در محیط نرم افزار متلب<sup>۶</sup> انجام شد.

1. JVC-9X00; 200 Hz

2. Kistler, Winterthur, Switzerland, 60\*40 cm, 1000Hz

3. SIMI Motion

4. Carden

5. Newton-Euler

6. MATLAB

معادله یک: معادلات سه بعدی نیوتون برای حرکت یک اندام

$$\sum F_x = ma_x$$

$$\sum F_y = ma_y$$

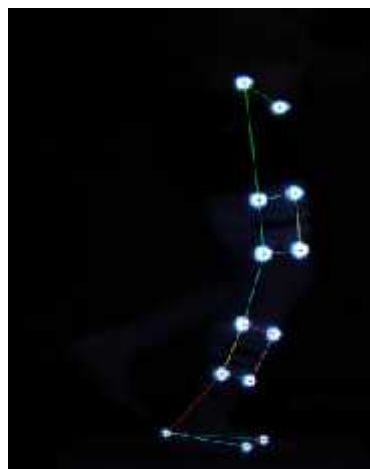
$$\sum F_z = ma_z$$

معادله دو: معادلات سه بعدی اوول برای حرکت یک اندام

$$I_x a_x + (I_z - I_y) \cdot y - z = \sum M_x$$

$$I_y a_y + (I_x - I_z) \cdot x - z = \sum M_y$$

$$I_z a_z + (I_y - I_x) \cdot x - y = \sum M_z$$



شکل ۱- موقعیت نشانگرهای رهگیری

برای بررسی توزیع طبیعی داده‌ها از آزمون شپیرو-ویلک<sup>۱</sup> و جهت تحلیل آماری نتایج از آزمون تی همبسته در سطح معناداری ۰/۰۵ استفاده شد. مقادیر اوچ گشتاور سه بعدی مفاصل ران و زانو به عنوان متغیر وابسته پژوهش سنجیده شد. برای توصیف واضح‌تر نتایج، الگوی تغییرات گشتاور عضلانی دو مفصل ران و زانوی افراد مبتلا به سندروم درد کشکی-رانی در سه صفحه حرکتی بین شرایط بدون مداخله درمانی و هنگام نواربندی کشک مقایسه شدند. تحلیل‌های آماری در محیط نرم‌افزار اس.پی.اس. نسخه ۲۱۸ انجام شد.

---

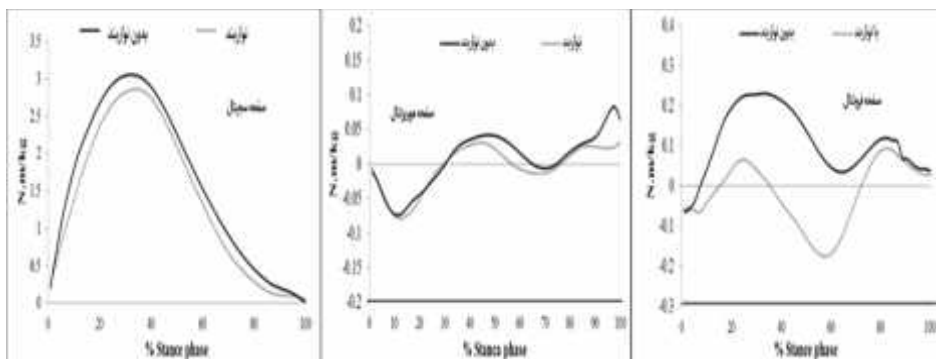
1. Shapiro-Wilk  
2. SPSS 18

## نتایج

الگوی تغییرات گشتاور زانو در سه صفحه طی دو شرایط با و بدون نواربند مشابه بود، با این تفاوت که الگوی گشتاور زانو در صفحه فرونتال در شرایط با نواربند در مقایسه با شرایط بدون نواربند مقداری کمتری را دارا بود (شکل شماره دو). نتایج اوج گشتاور مفصل زانو در سه بعد به همراه الگوی تغییرات گشتاور زانو به ترتیب در جدول و نمودار شماره یک آورده شده است. نتایج اوج گشتاور دورکننده طی مرحله اتکای دویden در استفاده از نواربند حدود  $2/0.026$  نیوتن‌متر بر کیلوگرم در مقایسه با شرایط بدون نواربند کمتر بود که این اختلاف به لحاظ آماری معنی‌دار است ( $P=0.026$ ) (جدول شماره یک). در سایر مقداری اوج گشتاور زانو در دو صفحه‌ی افقی (اوج گشتاور چرخش داخلی و خارجی) و سهمی (اوج گشتاور خم‌کردن و بازکردن) اختلاف معنادار آماری مشاهده نشد ( $P>0.05$ ).

جدول ۱- اوج گشتاور زانو (نیوتن‌متر / کیلوگرم) در سه بعد طی مرحله استقرار دویden در دو شرایط با و بدون نواربند حمایت‌کننده کشک (میانگین $\pm$ انحراف استاندارد)

گشتاور	بدون نواربند	نواربندی	میزان $t$	ارزش P
بازکردن	$3/17 \pm 0.99$	$2/94 \pm 0.80$	$1/718$	$0/109$
خم‌کردن	$-0/0689$	$-0/061 \pm 0.16$		$0/503$
دور کردن	$0/25 \pm 0.19$	$2/504$		$*0/026$
نزدیک کردن	$-0/31 \pm 0.29$	$1/523$		$0/152$
چرخش داخلی	$0/17 \pm 0.17$	$0/13 \pm 0.11$		$0/365$
چرخش خارجی	$-0/34 \pm 0.13$	$-0/36 \pm 0.12$		$0/829$



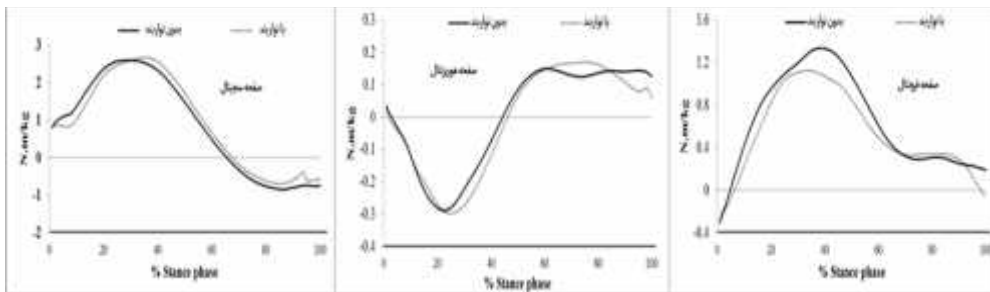
شکل ۲- الگوی گشتاور زانو (میانگین کلیه‌ی آزمودنی‌ها) در سه بعد طی مرحله استقرار دویden در دو شرایط با و بدون نواربند حمایت‌کننده کشک

مقادیر اوج گشتاور ران در سه صفحه‌ی حرکتی طی دو شرایط با و بدون نواربند اختلاف معناداری را به لحاظ آماری نشان نداد ( $P > 0.05$ ) (جدول ۲). الگوی تغییرات سه بعدی گشتاور ران طی مرحله اتکای دویدن در هنگام استفاده و عدم استفاده از نواربند تفاوتی را نشان نداد (شکل شماره سه).

جدول ۲- اوج گشتاور ران (نیوتون‌متر / کیلوگرم) در سه بعد طی مرحله استقرار دویدن در دو شرایط با و

بدون نواربند حمایت‌کننده کشک (میانگین  $\pm$  انحراف استاندارد)

گشتاور	بدون نواربند	نمایانه	بدون نواربندی	$t$	ارزش $P$
بازکردن	$2/81 \pm 0/96$	$2/60 \pm 0/63$	$1/413$	$-0/181$	$<0.05$
خمکردن	$-1/07 \pm 0/35$	$-1/02 \pm 0/21$	$-0/722$	$-0/483$	$<0.05$
دورکردن	$1/47 \pm 0/54$	$1/31 \pm 0/63$	$0/837$	$0/418$	$<0.05$
نزدیک کردن	$-0/41 \pm 0/26$	$-0/41 \pm 0/22$	$-0/042$	$-0/967$	$<0.05$
چرخش داخلی	$0/26 \pm 0/12$	$0/22 \pm 0/07$	$1/574$	$0/140$	$<0.05$
چرخش خارجی	$-0/34 \pm 0/13$	$-0/36 \pm 0/12$	$0/495$	$0/629$	$<0.05$



شکل ۳- الگوی تغییرات گشتاور ران (میانگین تمام آزمودنی ها) در سه بعد طی مرحله استقرار دویدن در دو شرایط با و بدون نواربند حمایت‌کننده کشک

## بحث و نتیجه‌گیری

هدف پژوهش حاضر بررسی اثر نواربندی کشک بر گشتاور مفاصل ران و زانو در سه بعد طی مرحله اتکای دویدن در زنان دارای درد کشکی-رانی بود. مطالعات بیان نموده اند که طی مرحله پاسخ بارگیری راهرفتن مقادیر گشتاور دورکننده و گشتاور چرخش خارجی زانو در بیماران دارای درد کشکی-رانی در مقایسه با افراد سالم بیشتر و مقادیر گشتاور اکستنسوری کمتر است (۲۸). نتایج پژوهش حاضر نشان داد که اوج گشتاور دورکننده طی مرحله اتکای دویدن در شرایط استفاده

از نواربند به طور معناداری کمتر از شرایط بدون نواربند کشکی بود (جدول شماره یک). کاهش اوج گشتاور دورکننده مفصل زانو در نشانگر اثر معنادار نواربند کشکی بر مکانیک زانو است. سلفه و همکاران (۲۰۰۸) اختلاف معناداری درنتیجه استفاده از نواربند کشکی بر گشتاور زانو در صفحه عرضی طی حرکت پایین آمدن از پله گزارش نکردند (۲۹)، از طرفی این پژوهشگران کاهش گشتاور زانو در صفحه‌ی افقی را در طی نواربندی کشک نشان دادند (۲۹). یکی از دلایل تفاوت درنتیجه پژوهش حاضر با نتایج سلفه و همکاران (۲۰۰۸) را می‌توان این موضوع عنوان کرد که در پژوهش مذکور آزمودنی‌ها افراد سالم بودند؛ درحالی‌که در پژوهش حاضر آزمودنی‌ها زنان دارای درد کشکی-رانی بودند، همچنین دلیل دیگر می‌تواند تفاوت در تکالیف دو مطالعه باشد. مطالعاتی که به بررسی اثر نواربندی کشک بر روی فعالیت عضلات اطراف زانو پرداخته‌اند، گزارش نموده‌اند که نواربندی در افراد با درد کشکی-رانی سبب افزایش معناداری در میزان فعالیت عضله پهن داخلی و کاهش معناداری در میزان فعالیت عضله پهن خارجی می‌شود، درحالی‌که نواربندی در افراد سالم نتایج معکوسی را نشان داد (۳۰). این مطالعات علت کاهش در میزان فعالیت عضله پهن داخلی و افزایش در فعالیت عضله پهن خارجی را در افراد سالم هنگام استفاده از نواربندی را این‌گونه گزارش کردند که زانوی سالم دارای تعادل مناسبی بین مؤلفه‌های جانب خارجی و داخلی زانو (عضلات و لیگامن‌تها) است که به حرکت صحیح کشک در شیار قرقه‌ای مفصل کشکی-رانی منجر می‌شود (۳۰). به همین دلیل نواربندی کشک به دلیل کمک به مؤلفه‌های داخلی مفصل کشکی-رانی (حمایت لیگامن‌تها) سبب می‌شود که دستگاه عصی مرکزی الگوی فعالیت متفاوتی را در فعل نمودن عضلات چهارسر در افراد سالم در مقایسه با بیماران دارای درد کشکی-رانی استفاده نماید (۳۰). از علل احتمالی کاهش گشتاور دورکننده‌گی در مفصل زانو در پژوهش حاضر درنتیجه استفاده از نواربند کشکی را می‌توان تحریک و بهبود عملکرد گیرنده‌های عصبی (۱۶، ۳۱) و بهبود زمان‌بندی انقباض عضله پهن داخلی نسبت به پهن خارجی (کاهش تأخیر در زمان‌بندی انقباض) در هنگام استفاده از تکنیک نواربندی مک‌کانل دانست (۳۲). از دیدگاه تئوری، دورشدن اضافی در مفصل زانو یکی از دلایل افزایش فشار مفصلی و درد کشکی-رانی است (۳۲). با توجه به نتایج پژوهش حاضر، احتمال می‌رود که کاهش گشتاور دورکردن زانو یکی از مکانیسم‌های کاهش درد توسط نواربندی کشک باشد. در سایر مقادیر اوج گشتاور زانو در دو صفحه‌ی افقی (اوج گشتاور چرخش داخلی و خارجی) و سهمی (اوج گشتاور خم‌کردن و بازکردن) اختلاف معناداری بین شرایط با و بدون نواربند کشکی مشاهده نشد. مطالعات نشان داده‌اند که نواربندی کشک سبب افزایش گشتاور مفصل زانو در صفحه سهمی در بیماران دارای درد کشکی-رانی طی فعالیت‌هایی نظیر پرش، بالارفتن از پله و بالارفتن جانبی از پله می‌شود (۱۹، ۲۱، ۲۲) که با نتایج پژوهش حاضر

همسو نیست. این پژوهشگران یکی از دلایل این افزایش گشتاور را بهبود بازوی گشتاور عضلات چهارسر رانی در هنگام نواربندی کشک و بهبود عملکرد عصبی درنتیجه تحریکات پوستی ناشی از نواربندی بیان نمودند (۲۱، ۲۲). احتمال دارد که علت تفاوت در نتایج پژوهش حاضر در مقادیر اوج گشتاور مفصل زانو با پژوهش‌های مذکور (۱۹، ۲۱، ۲۲) تفاوت در تکالیف حرکتی دو پژوهش باشد. در پژوهش حاضر، مقادیر اوج گشتاور ران در سه صفحه‌ی حرکتی طی دو شرایط با و بدون نواربند در مرحله اتکا دویden اختلاف معناداری را به لحاظ آماری نشان نداد. یکی از دلایل جایجاپی کشک به سمت خارج و درنتیجه افزایش فشار مفصل کشکی-رانی، وجود چرخش داخلی و نزدیک شدن بیش از حد ران در این بیماران گزارش شده است (۱۳، ۳۴). این تغییرات سینماتیکی ناشی از کاهش قدرت عضلات دورکننده و چرخش‌دهنده خارجی و درنتیجه کاهش گشتاور تولیدی این گروه‌های عضلانی در مفصل ران است (۸، ۱۲، ۳۵). باوجوداین، نواربندی کشک قادر به کاهش هیچ‌یک از گشتاورهای چرخش‌دهنده داخلی یا نزدیک‌کننده مفصل ران طی دویden نشد، بنابراین کاهش درد بیماران با استفاده از نواربندی کشک (۱۷) نمی‌تواند به دلیل تغییر در مقادیر گشتاور مفصل ران طی مرحله اتکای دویden باشد. باوجوداین، اثبات این موضوع به پژوهش‌ها و بررسی متغیرهای بیومکانیکی بیشتر مانند توان مفاصل نیاز دارد.

مطالعات پیشین کاهش درد کشکی-رانی و افزایش نسبت فعالیت عضله پهن داخلی به خارجی درنتیجه نواربندی کشکی را گزارش کرده‌اند. نتایج پژوهش حاضر نشان داد که نواربندی کشک مقدار گشتاور دورکننده زانو را کاهش می‌دهد و بر گشتاور ران در سه بعد تأثیر ندارد. انجام پژوهش‌های بیشتر در این زمینه برای تائید این موضوع توصیه می‌شود.

اگرچه دویden یک حرکت دینامیک است، اما پیشنهاد می‌شود تأثیر نواربندی کشک در حرکات پیچیده‌تر، همچون پرش‌ها، چرخش‌های ناگهانی و غیره که عضلات و مفاصل را بیشتر به چالش می‌کشند، نیز بررسی گردد. از سوی دیگر در این پژوهش تنها زنان دارای درد کشکی-رانی مطالعه شدند، بنابراین اجرای این پژوهش بر روی مردان دارای درد کشکی-رانی نیز توصیه می‌شود.

از دیدگاه نظری، دورشدن اضافی مفصل زانو یکی از دلایل افزایش فشار مفصلي و درد کشکی-رانی است. با توجه به نتایج پژوهش حاضر، کاهش گشتاور دورکننده زانو یکی از مکانیسم‌های احتمالی کاهش درد کشک است. از سوی دیگر نواربندی کشک هیچ تغییری در مقادیر گشتاور عضلانی مفصل ران در سه بعد طی مرحله اتکای دویden در بیماران دارای درد کشکی-رانی نداشت.

پژوهش‌های گذشته نشان داده‌اند که نواربندی کشک سبب کاهش میزان درد، افزایش گشتاوری بازکنندگی زانو و افزایش نسبت فعالیت عضله پهن داخلی به پهن خارجی طی فعالیت‌های نظیر راه رفتن، پرش و بالا رفتن از پله می‌شود.

در پژوهش‌های گذشته گشتاور سه‌بعدی مفصل زانو و ران در بیماران دارای درد کشکی رانی طی مرحله‌ی اتکای دویدن مورد بررسی قرار نگرفته بود. نتایج پژوهش حاضر نشان داد که نواربندی کشک سبب کاهش گشتاور دورکنندگی زانو طی فاز اتکای دویدن می‌شود و بر گشتاور سه‌بعدی مفصل ران اثر معنی‌داری را دارا نمی‌باشد.

### منابع

1. McConnell J. The management of chondromalacia patellae: a long term solution. Australian Journal of Physiotherapy. 1986; 32(4):215-23.
2. Devreux M, Lachmann S. Patello-femoral arthralgia in athletes attending a Sports Injury Clinic. British journal of sports medicine. 1984; 18(1):18-21.
3. Robinson RL, Nee RJ. Analysis of hip strength in females seeking physical therapy treatment for unilateral patellofemoral pain syndrome. Journal of orthopaedic & sports physical therapy. 2007; 37(5):232-8.
4. Fallon K. Musculoskeletal injuries in the ultramarathon: the 1990 Westfield Sydney to Melbourne run. British journal of sports medicine. 1996; 30(4):319-23.
5. Grana WA, Coniglione T. Knee disorders in runners. Physician and Sportsmedicine. 1985; 13(5):127-33.
6. Baker MM, Juhn MS. Patellofemoral pain syndrome in the female athlete. Clinics in sports medicine. 2000; 19(2):315-29.
7. Anderson G, Herrington L. A comparison of eccentric isokinetic torque production and velocity of knee flexion angle during step down in patellofemoral pain syndrome patients and unaffected subjects. Clinical Biomechanics. 2003; 18(6):500-4.
8. Ireland ML, Willson JD, Ballantyne BT, Davis IM. Hip strength in females with and without patellofemoral pain. Journal of Orthopaedic & Sports Physical Therapy. 2003; 33(11):671-6.
9. Nejati P, Forogh B, Moeineddin R, Baradaran HR, Nejati M. Patellofemoral pain syndrome in Iranian female athletes. Acta Medica Iranica. 2011; 49(3):169.
10. Herrington L. The effect of patellar taping on quadriceps peak torque and perceived pain: a preliminary study. Physical Therapy in Sport. 2001; 2(1):23-8.
11. Dierks TA, Manal KT, Hamill J, Davis IS. Proximal and distal influences on hip and knee kinematics in runners with patellofemoral pain during a prolonged run. Journal of orthopaedic & sports physical therapy. 2008; 38(8):448-56.
12. Souza RB, Powers CM. Differences in hip kinematics, muscle strength, and muscle activation between subjects with and without patellofemoral pain. Journal of orthopaedic & sports physical therapy. 2009; 39(1):12-9.
13. Powers CM, Berke GM, Clary MD, Fredericson M. Patellofemoral pain: is there a role for orthoses? PM&R. 2010; 2(8):771-6.
14. Fairbank J, Pynsent P, van Poortvliet JA, Phillips H. Mechanical factors in the incidence of knee pain in adolescents and young adults. Journal of Bone & Joint Surgery, British Volume. 1984; 66(5):685-93.

15. Earl JE, Hoch AZ. A proximal strengthening program improves pain, function, and biomechanics in women with patellofemoral pain syndrome. *The American journal of sports medicine*. 2011; 39(1):154-63.
16. Osorio JA, Vairo GL, Rozea GD, Boshu PJ, Millard RL, Aukerman DF, et al. The effects of two therapeutic patellofemoral taping techniques on strength, endurance, and pain responses. *Physical Therapy in Sport*. 2013; 14(4):199-206.
17. Aminaka N, Gribble PA. Patellar taping, patellofemoral pain syndrome, lower extremity kinematics, and dynamic postural control. *Journal of Athletic Training*. 2008; 43(1):21.
18. Chang H-Y, Chou K-Y, Lin J-J, Lin C-F, Wang C-H. Immediate effect of forearm Kinesio taping on maximal grip strength and force sense in healthy collegiate athletes. *Physical Therapy in Sport*. 2010; 11(4):122-7.
19. Selfe J, Thewlis D, Hill S, Whitaker J, Sutton C, Richards J. A clinical study of the biomechanics of step descent using different treatment modalities for patellofemoral pain. *Gait & posture*. 2011; 34(1):92-6.
20. Nyland J, Ullery L, Caborn DN. Medial patellar taping changes the peak plantar force location and timing of female basketball players. *Gait & posture*. 2002; 15(2):146-52.
21. Salsich GB, Brechter JH, Farwell D, Powers CM. The effects of patellar taping on knee kinetics, kinematics, and vastus lateralis muscle activity during stair ambulation in individuals with patellofemoral pain. *Journal of Orthopaedic & Sports Physical Therapy*. 2002; 32(1):3-10.
22. Ernst GP, Kawaguchi J, Saliba E. Effect of patellar taping on knee kinetics of patients with patellofemoral pain syndrome. *Journal of Orthopaedic & Sports Physical Therapy*. 1999; 29(11):661-7.
23. Tateuchi H, Shiratori S, Ichihashi N. The effect of angle and moment of the hip and knee joint on iliotibial band hardness. *Gait & posture*. 2014.
24. Boling MC, Bolgia LA, Mattacola CG, Uhl TL, Hosey RG. Outcomes of a weight-bearing rehabilitation program for patients diagnosed with patellofemoral pain syndrome. *Archives of physical medicine and rehabilitation*. 2006; 87(11):1428-35.
25. Bolgia LA, Malone TR, Umberger BR, Uhl TL. Hip strength and hip and knee kinematics during stair descent in females with and without patellofemoral pain syndrome. *Journal of orthopaedic & sports physical therapy*. 2008; 38(1):12-8.
26. Winter DA. Biomechanics and motor control of human movement: John Wiley & Sons; 2009.
27. De Leva P. Adjustments to Zatsiorsky-Seluyanov's segment inertia parameters. *Journal of biomechanics*. 1996; 29(9):1223-30.
28. Paoloni M, Mangone M, Fratocchi G, Murgia M, Saraceni VM, Santilli V. Kinematic and kinetic features of normal level walking in patellofemoral pain syndrome: More than a sagittal plane alteration. *Journal of biomechanics*. 2010; 43(9):1794-8.
29. Selfe J, Richards J, Thewlis D, Kilmurray S. The biomechanics of step descent under different treatment modalities used in patellofemoral pain. *Gait & posture*. 2008; 27(2):258-63.

30. Powers CM, Landel R, Perry J. Timing and intensity of vastus muscle activity during functional activities in subjects with and without patellofemoral pain. *Physical therapy*. 1996; 76(9):946-55.
31. Callaghan M, Selfe J, Bagley P, Oldman J. Effects of patellar taping on knee joint proprioception. *Physiotherapy*. 2000; 86(11):590.
32. Gilleard W, McConnell J, Parsons D. The effect of patellar taping on the onset of vastus medialis obliquus and vastus lateralis muscle activity in persons with patellofemoral pain. *Physical Therapy*. 1998; 78(1):25-32.
33. Pohl MB, Patel C, Wiley JP, Ferber R. Gait biomechanics and hip muscular strength in patients with patellofemoral osteoarthritis. *Gait & posture*. 2013; 37(3):440-4.
34. Song C-Y, Huang H-Y, Chen S-C, Lin J-J, Chang AH. Effects of femoral rotational taping on pain, lower extremity kinematics, and muscle activation in female patients with patellofemoral pain. *Journal of Science and Medicine in Sport*. 2014.
35. Cichanowski HR, Schmitt JS, Johnson RJ, Niemuth PE. Hip strength in collegiate female athletes with patellofemoral pain. *Medicine and science in sports and exercise*. 2007; 39(8):1227-32.

## استناد به مقاله

اسلامی منصور، سالاری اسکر فاطمه. تاثیر نواربندی کشکک بر گشتاور سه بعدی مفاصل زانو و ران زنان مبتلا به سندروم درد کشککی-رانی طی مرحله اتکای دویدن.  
مطالعات طب ورزشی. پاییز و زمستان ۱۳۹۴؛ ۷ (۱۸)، ۶۵-۷۸.

Eslami. M, Salari Esker. F. The effect of patellar taping on three-dimensional hip and knee joint moments during running in females with patellofemoral pain syndrome. *Fall & Winter 2015 & 2016*; 7 (18): 65-78. (Persian)

## **The effect of patellar taping on three-dimensional hip and knee joint moments during running in females with patellofemoral pain syndrome**

**M. Eslami<sup>1</sup>, F. Salari Esker<sup>2</sup>**

1. Asociated Professor at University of Mazandaran\*

2. Ph.D. Student at University of Mazandaran

**Received Date: 2015/06/15**

**Accepted Date: 2016/05/07**

---

### **Abstract**

The mechanisms of knee pain reduction have not completely been established following patellar taping in individuals with patellofemoral pain syndrome (PFPS). The aim of the present study was to evaluate the effect of patellar taping on three-dimensional hip and knee joint moments during the stance phase of running in females with PFPS. Kinematic and kinetic variables of 14 females with PFPS were recorded by five video cameras (200 Hz) and one force plate (1000Hz). Newton-Euler inverse dynamic equations were performed to calculate joint moments. A paired sample T-tests was utilized to compare between two conditions with and without taping. The peak values of knee abductor moment were decreased significantly following a patellar taping (No taping 0.44; Taping 0.25 N.m/kg). There were no significant differences between the peak values of hip joint moments between two conditions. Decreased peak values of knee abductor moment may explain the mechanism of pain reduction following patellar taping in individuals with PFPS.

**Keywords:** Patellofemoral Pain Syndrom, Running, Taping, Moment

---

---

\*Corresponding Author

Email: mseslami@gmail.com